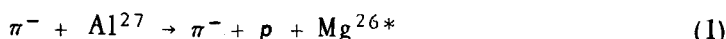


**ЭКСПЕРИМЕНТАЛЬНОЕ ИССЛЕДОВАНИЕ МЕХАНИЗМА
РЕАКЦИИ (π^- , $\pi^- p$) НА ЯДРЕ AI²⁷
ПРИ МАЛЫХ ПЕРЕДАННЫХ ЯДРУ ИМПУЛЬСАХ**

Ю. Д. Брюков, Л. С. Воробьев, В. М. Колыбасов,
Г. А. Лексин, В. Л. Столин, В. Б. Федоров

Продолжая цикл исследований по изучению механизма реакций выбивания протонов из ядер π^- -мезонами с импульсом 1 Гэв/с [1–4], мы измерили характеристики реакции



в области переданных ядрю импульсов $q < \sqrt{2M\epsilon}$, где ϵ – энергия связи протона в ядре, M – приведенная масса протона и ядра остатка.

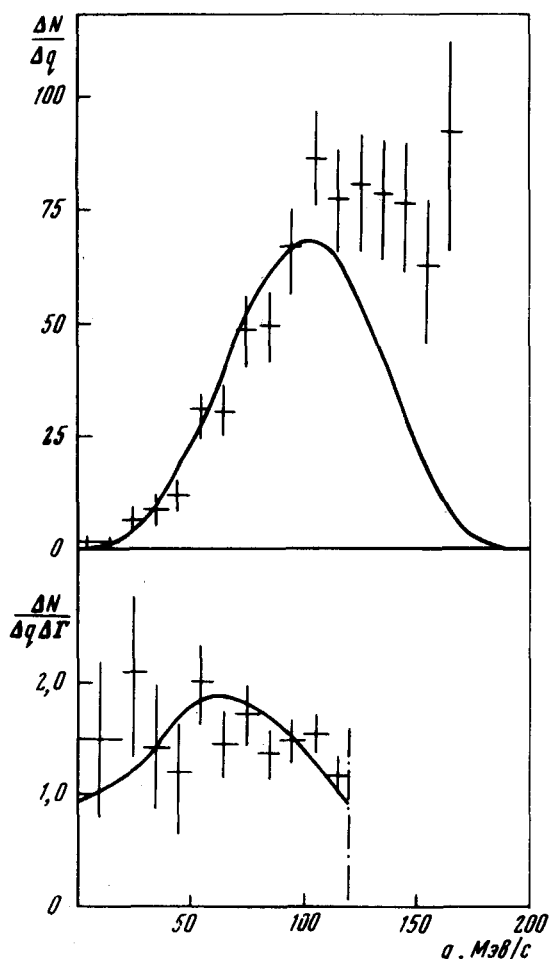


Рис. 1. а) Распределение по импульсу остаточного ядра, б) то же, деленное на фазовый объем

Постановка задачи и аппаратура полностью аналогичны ранее описанным [1]. Достигнутое в ранее проводившихся экспериментах разрешение ($\Delta\epsilon_{воз} \approx \pm 20$ Мэв, $\Delta q \approx \pm 10$ Мэв/с), не позволяющее выделить

по спектру энергии возбуждения уровни ядра-остатка, предопределило выбор изучаемого ядра. Ранее изучавшаяся реакция (π^- , π^-p) на Li^6 , C^{12} приводила к образованию остаточного ядра в основном и низко возбужденных состояниях. Интересным было выяснить, не меняется ли механизм реакции, если ядро образуется только в возбужденных состояниях. Выбор Al^{27} обусловлен тем, что, как видно из работ по квазиупругому выбиванию протонов, т. е. при изучении реакции (p , $2p$) на Al^{27} , у остаточного ядра Mg^{26} основное состояние практически не возбуждается. Экспериментально измеренные в работе [5] пики по шкале энергий возбуждения имеют положения: $\epsilon_{\text{воз}} \sim 5,8 \text{ МэВ}$ ($\ell = 0$) с шириной $5,5 \text{ МэВ}$ и $\epsilon_{\text{воз}} \sim 11,3 \text{ МэВ}$ ($\ell \neq 0$) с шириной 9 МэВ . Полученный в данной работе спектр по энергии возбуждения остаточного ядра Mg^{26*} согласуется с данными работ [5 – 6].

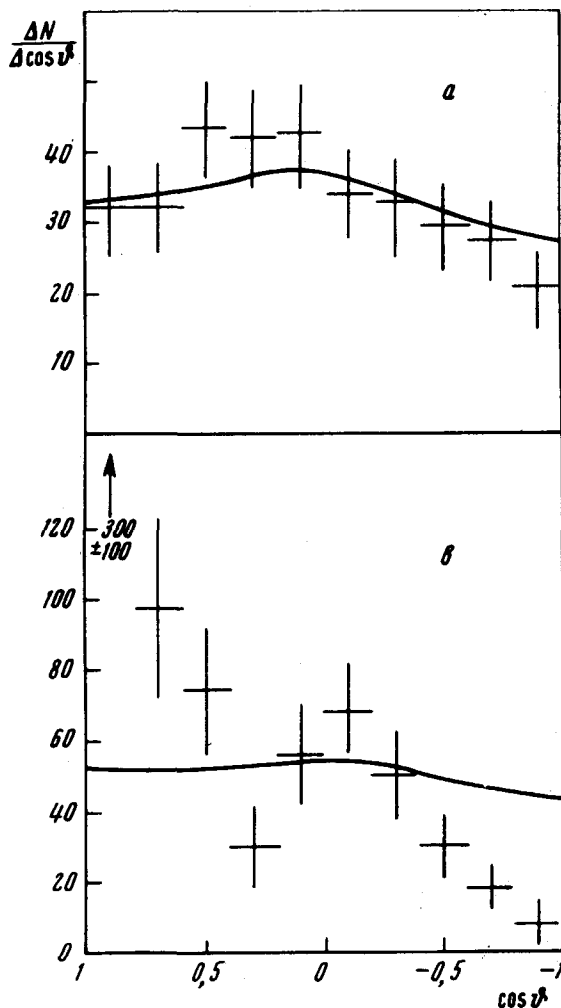


Рис. 2. Распределение по косинусу полярного угла ядра отдачи: а) при $0 < q < 120 \text{ МэВ/с}$, б) при $120 < q < 170 \text{ МэВ/с}$

Постановка эксперимента в некомпланарной геометрии позволила получить распределение по импульсу остаточного ядра, а также распределения по углу Треймана–Янга и по полярному углу вылета ядра для различных диапазонов q . Эти распределения с учетом геометрической эффективности установки, как наиболее чувствительные к механизму реакции [2 – 3], будут обсуждаться ниже.

На рис. 1, а представлено распределение числа случаев по φ -импульсу остаточного ядра. На рис. 1, б дано тоже распределение, деленное на фазовый объем. Сплошная кривая – результат расчета по полюсной диаграмме с учетом выбивания s - и p -протонов. В расчетах брался батлеровский форм-фактор и допускалось варьирование радиусов и интенсивностей обоих каналов. Видно, что согласие расчета с экспериментом наблюдается в области $q < 120 \text{ Мэв/с}$, при выбранных радиусах каналов 4ϕ .

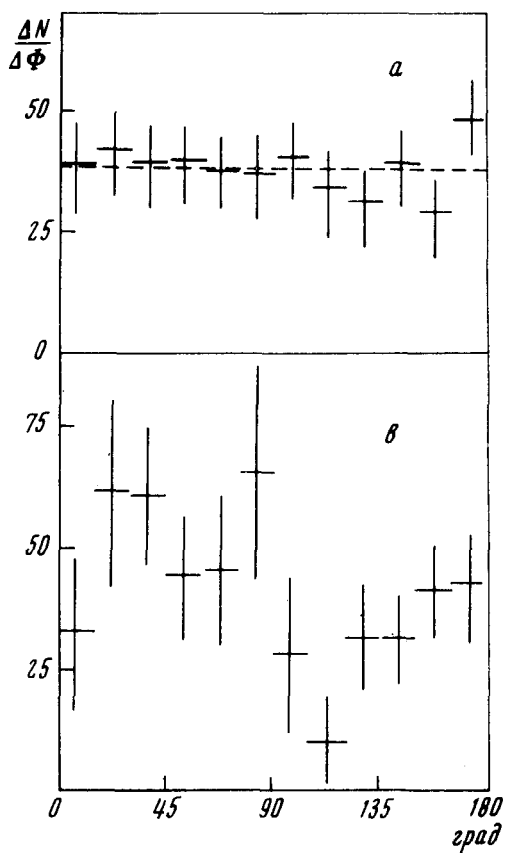


Рис. 3. Распределение по углу Треймана – Янга: а) при $0 < q < 120 \text{ Мэв/с}$, б) при $120 < q < 170 \text{ Мэв/с}$

На рис. 2, 3 приведены распределения по полярному углу ядра отдачи и по углу Треймана – Янга для областей $0 < q < 120 \text{ Мэв/с}$ и $120 < q < 170 \text{ Мэв/с}$. Сплошные кривые на рис. 2 – результат расчета в полюсном приближении для двух выбранных областей q . Распределение по углу Треймана – Янга, представленное для указанных областей q на рис. 3, сравнивается с изотропным. Видно, что для обоих распределений рис. 2 и 3 в области $q < 120 \text{ Мэв/с}$ наблюдается хорошее согласие предсказаний полюсного механизма с экспериментом. Полученные для ядра со средним весом (Al^{27}) результаты подтверждают ранее сделанные выводы из экспериментов на ядрах Li^6 и C^{12} об определяющем вкладе полюсной диаграммы при малых q . С ростом q становится существенным вклад других диаграмм.

Так как переход происходит в возбужденное состояние ядра Mg^{26*} можно предположить, что механизм реакции ($\pi^- p$) не зависит от сос-

тояния остаточного ядра. Анализ приведенных распределений по полярному углу вылета ядра и углу Треймана – Янга и сравнение с ранее полученными распределениями на ядрах C^{12} и Li^6 в области больших q показывает, что характер отклонения от полюсного приближения также в основном не зависит от выбора ядра-мишени.

Институт теоретической
и экспериментальной физики

Поступила в редакцию
26 февраля 1973 г.

Литература

- [1] A.O. Aganyants, Yu.D. Bayukav et. al. Phys. Lett., 27B, 590, 1968; Nucl. Phys., B11, 79, 1969.
 - [2] Yu. D. Bayukav, V.B. Fedorov et al. Phys. Lett. 33B, 416, 1970.
 - [3] Ю.Д.Баюков, Л.С.Воробьев и др. Сб. "Проблемы современной ядерной физики", М., изд. Наука, 1971, стр. 410.
 - [4] Г.А.Лексин. Обзорный доклад на IV Международной конференции по физике высоких энергий и структуре ядра (Дубна, сентябрь 1971 г.).
 - [5] G.Tibell, O.Sundberg, P.U.Remberg Ark. Fys., 25, 433, 1963.
 - [6] H.Tyren, S.Kullander, O.Sundberg et al. Nucl. Phys., 79, 321, 1966.
-